

## 薄肉溶接構造物の溶接変形の簡易解析法について

九州大学 工学部 正会員 高海克彦

## 1. 緒言

溶接による変形の発生は、鋼構造物の寸法精度や外観を損うだけでなく、部材の強度を低下させることにもなり、特に薄肉構造物においてはその影響が著しく、変形の矯正には多大の時間と労力を要する。従来、溶接変形対策は、溶接技術者の経験と勘に頼るところが多く、たゞ、学問的裏付けをもつて溶接変形の予知と防止法の開発が急務とされるところである。本研究は、薄肉溶接ばりの溶接に伴う面外角変形を、初期ひずみ分布を有する薄肉ばりの断面変形問題として扱える一次元的簡易解析法を提案するものである。

## 2. 溶接による角変形とそれに起因するほりの断面変形

図-1のようすに2枚の長方形鋼板を変形の拘束なしに溶接接合して折板構造を作るととき、各鋼板には横収縮、縦収縮、面内回転などの面内変形と、縦曲がり、角変形などの面外変形が生じる。ここでは、これら諸変形のうち角変形のみを考慮し、他は無視する。

面外角変形は、溶接時の板厚方向の温度差を主要因とする面外曲げ変形であるが、曲がりは溶接時の局部加熱により溶接部近傍に生じ、そこを離せば直線的变化をする。また、この曲は溶接入熱量、層数、板厚等に影響されるので、溶接線(ほり軸)方向には一般にZの関数として、仕事に与えられるものとする。なお、変形の拘束が一切ない図-1の状態では、各板の面内ひずみは生じないものとする。

いま、図-2(a)のように、N枚の薄肉長方形鋼板を溶接して開断面ばりを製作する。ほり断面の重心を原点とする(X, Y, Z)座標系、および板厚中心線上に沿って移動する(M, N)座標系を設ける。ほりの溶接線(折板接合線)を節線とよび、節線上で変形の拘束なしに溶接したときに生じる角変形θ<sub>i</sub>(i=1, 2, ..., N-1)は既知量として与えられるが、実際のはりでは複数の変形拘束が存在するため、溶接後の角変形はθ<sub>i</sub>となる。このθ<sub>i</sub>とθ<sub>i</sub>の差が各節線の角度形が連続となるために付加されるもので、弾性角変形とよぶ。未知量θ<sub>i</sub>は、溶接による角変形が生じないほりの断面形状からの断面変形を表わし、薄板接合線にかけ反時計回りの相対回転角で定義される。本論では、軸方向付加ひずみを生じさせね弹性角変形のみ考慮するので、断面変形の自由度はN-3である。(図-2(b))

## 3. 断面変形の変位場

断面変形に伴うせん断中心S(x<sub>s</sub>, y<sub>s</sub>)のX, Y方向剛体付加変位をu<sub>s</sub>, v<sub>s</sub>、剛体付加回転角をφとし、N-3個の弾性角変位を用いれば、断面任意点のX, Y, Z方向付加変位関数u, v, w; 次式で表わされる。

$$\left. \begin{aligned} u &= u_s(z) - (y - y_s)\varphi(z) - \sum_{i=1}^{N-3} (y - y_i)u_i(\theta_i(z) - \theta_i(z)) \\ v &= v_s(z) + (x - x_s)\varphi(z) + \sum_{i=1}^{N-3} (x - x_i)u_i(\theta_i(z) - \theta_i(z)) \end{aligned} \right\} \quad (1)$$

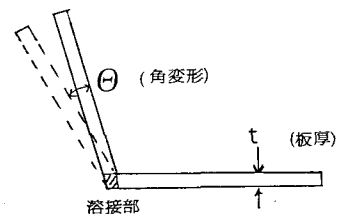


図-1 溶接による角変形

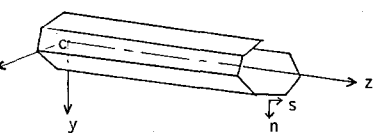


図-2(a) 溶接ばりと座標系

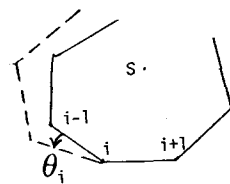


図-2(b) 断面変形の定義

$$w = w_c(z) - u_s'x + v_s'y + \omega(a)\varphi' + \sum_{j=1}^{N-3} \psi_j(a)(\theta_j'(z) - \theta_j(z))$$

$$\text{ただし, } \mu_i(a) = \begin{cases} 1 & (a \leq a_i) \\ 0 & (a > a_i) \end{cases}$$

ここに,  $a_i$  は節点  $i$  の座標,  $w_c(z)$  は圓心  $C$  の  $w$ ,  $\omega$  はねじりの単位モリ関数,  $\varphi(a)$  は断面形状によつて決まる関数,  $\psi_j'$  はそれに關する微係数。

#### 4. 断面変形による応力

断面変形による応力として, 軸方向付加垂直応力  $\sigma_z (= E \omega w_z)$  を考えらる。付加応力の自己平衡条件により  $u_s, v_s, w_c, \varphi$  は消去され,  $\theta$  は弾性角変位 ( $\theta_j - \theta_i$ ) のみで表わされる。

$$\sigma_z = E \sum_{j=1}^{N-3} \psi_j(a)(\theta_j'' - \theta_i'') \quad (2)$$

ここに,  $\psi_j(a)$  は断面形状によつて決まる関数,  $E$  はヤング係数。

また, 弹性角変位 ( $\theta_j - \theta_i$ ) に伴つて生じる軸直角方向曲げモーメントを単位長さ当たり  $M_s$  とすれば, 次のように表わされる。

$$M_s = \sum_{j=1}^{N-3} M_i(a)(\theta_j'' - \theta_i'') \quad (3)$$

ここに,  $M_i(a)$  は  $(\theta_j'' - \theta_i'') = 1$  のみによつて生じる曲げモーメント。

#### 5. フリホイ方程式と境界条件

長さ  $L$  の部材について, 式(2), (3)を内力とする仮想仕事式を立てれば, 積接によつて断面変形のフリホイ方程式と境界条件が次のように得られる。

フリホイ方程式:

$$\sum_{j=1}^{N-3} \{ EI_{ij} (\theta_j''' - \theta_i''') + f_{ij} (\theta_j'' - \theta_i'') \} = 0 \quad (4)$$

(j=1, 2, ..., N-3)

境界条件:  $z = 0, L$  において

$$\left. \begin{array}{l} \sum_{j=1}^{N-3} EI_{ij} (\theta_j'' - \theta_i'') = 0 \quad \text{または} \quad \theta_j' = 0 \quad (j=1, 2, \dots, N-3) \\ \sum_{j=1}^{N-3} EI_{ij} (\theta_j''' - \theta_i''') = 0 \quad \text{または} \quad \theta_j''' = 0 \quad (j=1, 2, \dots, N-3) \end{array} \right\} \quad (5)$$

ここに,  $I_{ij}, f_{ij}$  は断面形状によつて決まる定数。

#### 6. 数値計算例

図-3 のように長さ  $L$  幅  $a$ , 板厚  $t$  の薄肉長方形板 4 枚を積接接合する場合を考える。この断面では節線 2 についての断面変形問題となり, 節線 2 に既知量として与えられると  $\theta$  は  $z$  方向に一定と仮定する。つまり両端では、断面変形に対しては剛となりよう。すなはち、断面変形は節線 2 に沿つて平行となる。

図-4 は、無次元化して  $a/t = 40$  として、 $L/a$  を 15 と 30 にしたときの断面変形を表わす。

<参考文献>

1) 原坂・高海: 薄肉閉断面曲りによる断面変形挙動の定式化, 土木学会論文集, 第 356 号/I-3, 昭和 60 年 4 月

2) 積接学会: 載講義「積接変形の発生とその防止」, 積接学会誌, Vol. 52, No. 4 ~ Vol. 53, No. 1, 1983, 1984.

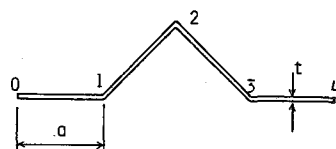


図-3 断面形状

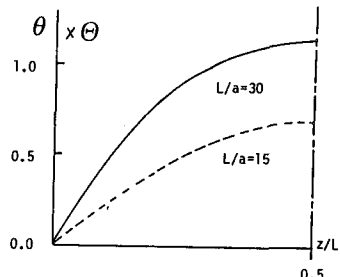


図-4 θ の軸方向変化